

С 3450
И-889

Nuel. Inst. & Meth.,
1967, v. 48, N1, p. 147-150 ✓

ОБЪЕДИНЕННЫЙ
ИНСТИТУТ
ЯДЕРНЫХ
ИССЛЕДОВАНИЙ

Дубна

2326



И.Б. Иссинский, В.И. Котов, Е.М. Кулакова,
К.П. Мызников, Л.А. Смирнова

УСТРАНЕНИЕ НЕЛИНЕЙНЫХ ЭФФЕКТОВ
В ОТКЛОНЯЮЩИХ МАГНИТАХ

Магниты - высоких энергий

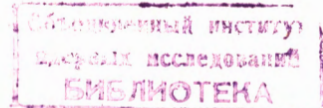
1965

2326

3560/3 кр.

И.Б. Иссинский, В.И. Котов, Е.М. Кулакова,
К.П. Мызников, Л.А. Смирнова

УСТРАНЕНИЕ НЕЛИНЕЙНЫХ ЭФФЕКТОВ
В ОТКЛОНЯЮЩИХ МАГНИТАХ



В ряде случаев при транспортировке пучков заряженных частиц возникает необходимость сочетать поворот и фокусировку в одном элементе. Однако при рассмотрении движения частиц, например, через отклоняющий магнит с постоянным по радиусу показателем поля n , уже нельзя ограничиться линейным приближением, а необходимо также учитывать нелинейные члены. Ниже будет рассмотрено движение частиц с учетом величин второго порядка. Следуя ^{1/}, выражим компоненты поля в точке с координатами ($R_0 + \rho$, z) через величину поля H_0 на равновесной орбите с радиусом R_0 и величины

$$n = - \frac{R_0}{H_0} \left(\frac{\partial H_z}{\partial R} \right) \Big|_{\substack{R=R_0 \\ z=0}} \quad n_1 = - \frac{R_0^2}{H_0} \left(\frac{\partial^2 H_z}{\partial R^2} \right) \Big|_{\substack{R=R_0 \\ z=0}} .$$

В результате $H_z = H_0 [1 - n x + \frac{1}{2} (n_1 x^2 + n_1 y^2 - n_1 y^2)]$,

$$H_R = H_0 [- n y + n_1 x y] , \quad (1)$$

где $x = \frac{\rho}{R_0} \ll 1$ — отклонение от равновесной орбиты в горизонтальной плоскости,
 $y = \frac{z}{R_0} \ll 1$ — отклонение от медианной плоскости по вертикали,
 H_z — вертикальная составляющая магнитного поля,
 H_R — радиальная составляющая магнитного поля.

Уравнения движения частиц в секторном магните с точностью до членов второго порядка имеют вид:

$$\frac{d^2 x}{d\theta^2} + (1 - n) x = (2n - 1 - \frac{n_1}{2}) x^2 + \frac{1}{2} (n_1 - n) y^2 + \frac{1}{2} (\frac{d x}{d\theta})^2 - \frac{1}{2} (\frac{d y}{d\theta})^2 , \quad (2)$$

$$\frac{d^2 y}{d\theta^2} + ny = (n_1 - 2n) xy + \frac{d x}{d\theta} \frac{d y}{d\theta} ,$$

где θ – азимутальный угол.

Решая уравнение (2) методом последовательных приближений, найдем следующие выражения для отклонений x_i , y_i и углов наклона траектории к равновесной орбите α_i и β_i в горизонтальной и вертикальной плоскостях на выходе из магнита через соответствующие входные значения (x_1 , y_1 , α_1 , β_1):

$$\begin{aligned}
 x = & [x \cos \kappa_p \theta + \frac{\alpha_1}{\kappa_p} \sin \kappa_p \theta] + \\
 & + \frac{1}{12(1-n)} [3(3n-1-n_1) - 2(2n-n_1) \cos \kappa_p \theta - (5n-3-n_1) \cos 2\kappa_p \theta] x_1^2 + \\
 & + \frac{1}{12(1-n)^2} [3(3n-1-n_1) - 2(7n-3-n_1) \cos \kappa_p \theta + (5n-3-n_1) \cos 2\kappa_p \theta] \alpha_1^2 + \\
 & + \frac{1}{6(1-n)\kappa_p} [2(2n-n_1) \sin \kappa_p \theta - (5n-3-n_1) \sin 2\kappa_p \theta] x_1 \alpha_1 + \\
 & + \frac{1}{4(1-n)(1-5n)} [(1-5n)(n_1-2n) - 2n_1(1-3n) \cos \kappa_p \theta + 2n(1-5n) \cos \kappa_p \theta + n_1(1-n) \cos 2\kappa_p \theta] y_1^2 + \\
 & + \frac{1}{2(1-n)} [\frac{n_1-2n}{2n} - \frac{5n-1-2n_1}{1-5n} \cos \kappa_p \theta - \frac{n(1-n)}{2(1-5n)n} \cos 2\kappa_p \theta] \beta_1^2 + \\
 & + \frac{n_1}{2(1-5n)} [\frac{\sin 2\kappa_p \theta}{\kappa_p} - \frac{2 \sin \kappa_p \theta}{\kappa_p}] y_1 \beta_1.
 \end{aligned} \tag{3}$$

$$\begin{aligned}
 y = & [y_1 \cos \kappa_p \theta + \frac{\beta_1}{\kappa_p} \sin \kappa_p \theta] + \\
 & + \frac{1}{1-5n} [n_1(1-\cos \kappa_p \theta) \cos \kappa_p \theta - (2n_1+1-5n) \frac{\kappa_p}{\kappa_s} \sin \kappa_p \theta \sin \kappa_s \theta] x_1 y_1 + \\
 & + \frac{1}{(1-n)(1-5n)} [(2n_1+1-5n)(1-\cos \kappa_p \theta) \cos \kappa_s \theta \frac{n(1-n)}{\kappa_p \kappa_s} \sin \kappa_p \theta \sin \kappa_s \theta] \alpha_1 \beta_1 + \\
 & + \frac{1}{1-5n} [-n_1(1+\cos \kappa_p \theta) \frac{\sin \kappa_s \theta}{\kappa_s} + \frac{2n_1+1-5n}{\kappa_p} \sin \kappa_p \theta \cos \kappa_s \theta] x_1 \beta_1 + \\
 & + \frac{1}{(1-n)(1-5n)} [(\frac{n_1(1-3n)-n(1-5n)}{\kappa_s} + \frac{2n_1+1-5n}{\kappa_p} n \cos \kappa_p \theta) \sin \kappa_s \theta - \\
 & - n_1(1-n) \frac{\sin \kappa_p \theta \cos \kappa_s \theta}{\kappa_p}] \alpha_1 y_1.
 \end{aligned} \tag{4}$$

$$\begin{aligned}
\alpha &= [-x_1 \kappa_\rho \sin \kappa_\rho \theta + \alpha_1 \cos \kappa_\rho \theta] + \\
&+ \frac{2n-n_1}{6\kappa_\rho} \sin \kappa_\rho \theta [1 + 2 \cos \kappa_\rho \theta] x_1^2 + \\
&+ \frac{\sin \kappa_\rho \theta}{6\kappa_\rho^3} [(7n-2n_1-3) - 2(2n-n_1) \cos \kappa_\rho \theta] \alpha_1^2 + \\
&+ \frac{2n-n_1}{3\kappa_\rho^2} [\cos \kappa_\rho \theta - \cos 2\kappa_\rho \theta] x_1 \alpha_1 + \\
&+ \frac{1}{2(1-5n)} \left[\frac{n_1(1-3n)-n(1-5n)}{\kappa_\rho} \sin \kappa_\rho \theta - n_1 \kappa_z \sin 2\kappa_z \theta \right] y_1^2 + \\
&+ \frac{1}{2(1-5n)} \left[\frac{5n-2n_1-1}{\kappa_\rho} \sin \kappa_\rho \theta + \frac{n_1 \kappa_z \sin 2\kappa_z \theta}{n} \right] \beta_1^2 + \\
&+ \frac{n_1}{1-5n} [\cos 2\kappa_z \theta - \cos \kappa_\rho \theta] \cdot y_1 \beta_1.
\end{aligned} \tag{5}$$

$$\begin{aligned}
\beta &= [\beta_1 \cos \kappa_z \theta - y_1 \kappa_z \sin \kappa_z \theta] + \\
&+ \frac{1}{(1-n)(1-5n)} \left\{ n_1 \left[\frac{(1-3n) \kappa_\rho \sin \kappa_\rho \theta \cos \kappa_z \theta - (1-n)(1+\cos \kappa_\rho \theta) \kappa_z \sin \kappa_z \theta}{\rho} \right] + \right. \\
&+ n(5n-1) \kappa_\rho \sin \kappa_\rho \theta \cos \kappa_z \theta \} x_1 y_1 + \\
&+ \frac{1}{(1-n)(1-5n)} \left\{ n_1 \left[\frac{\sin \kappa_z \theta}{\kappa_z} (3n \cos \kappa_\rho \theta - \cos \kappa_\rho \theta - 2n) + \kappa_\rho \sin \kappa_\rho \theta \cos \kappa_z \theta \right] + \right. \\
&+ \kappa_z (5n-1) (1-\cos \kappa_\rho \theta) \sin \kappa_z \theta \} \alpha_1 \beta_1 + \\
&+ \frac{1}{(1-n)(1-5n)} \left\{ n_1 \left[(1-n) (\cos \kappa_\rho \theta - 1) \cos \kappa_z \theta + (1-3n) \kappa_\rho \sin \kappa_\rho \theta \right] - \frac{\sin \kappa_z \theta}{\kappa_z} \right\} + \\
&+ n(5n-1) \kappa_\rho \sin \kappa_\rho \theta \frac{\sin \kappa_z \theta}{\kappa_z} \} x_1 \beta_1 + \\
&+ \frac{1}{(1-n)(1-5n)} \left\{ n_1 \left[(1-3n) (1-\cos \kappa_\rho \theta) \cos \kappa_z \theta - \kappa_\rho \kappa_z \sin \kappa_\rho \theta \sin \kappa_z \theta \right] + \right. \\
&\quad \left. + n(5n-1) (1-\cos \kappa_\rho \theta) \cos \kappa_z \theta \right\} \alpha_1 y_1.
\end{aligned} \tag{6}$$

Здесь $\kappa_p^2 = 1 - n$ и $\kappa_z^2 = n$. Полученные выражения справедливы для любых значений n . В частности, если $n > 1$, то в приведенных формулах необходимо прописать замену $\kappa_p = i\sqrt{n-1}$, а при $n < 0$ $\kappa_z = i\sqrt{|n|}$.

По формулам (3)–(6) были произведены численные расчеты для ряда начальных условий, углов поворота $1^\circ \div 5^\circ$ и величин $n = (-100) \div (-300)$. Те же случаи были про-считаны на электронно-счетной машине методом численного интегрирования уравнений движения частиц. Закон изменения магнитного поля по радиусу вводился в машину: а) в линейном приближении, б) с точностью до величин второго порядка в соответствии с (1). Разница в результатах, полученная для случаев а) и б) давала возможность оценить поправки к углам и отклонениям за счет нелинейных эффектов. Эти величины сравнивались с поправками второго порядка, полученными по формулам (3)–(6). Для поля с $n(R) = \text{const}$ (или $n_1 = n^2 + n$) величины поправок для углов выхода α и β совпадали с точностью $\approx 1\%$. Следовательно, для оценки нелинейных эффектов можно с хорошим приближением использовать формулы (3)–(6). Отметим, что нелинейные эффекты вносят заметные поправки в углы отклонения α и β на выходе магнита. При больших n они могут составлять более десяти процентов от величины, определенной в линейном приближении. В то же время для отклонений x и y эти поправки менее существенны и не превышают нескольких десятых процента от линейных величин.

Как следует из (1), конфигурация магнитного поля зависит от значений n и n_1 . При выбранном значении n можно варьировать магнитное поле, задавая разные величины n_1 , и тем самым менять вклад нелинейных членов в углы α и β . Для примера на рис. 1 и 2 приведены результаты расчета эффектов, связанных с нелинейными членами, в магните, фокусирующем по радиусу и дефокусирующем по вертикали в случае, когда $n = -300$ и $\theta = 43^\circ$. На рис. 1 показано, как зависит от n_1 величина каждого из коэффициентов, стоящих при нелинейных членах в формуле (5) для горизонтального угла выхода из магнита. По оси абсцисс отложена величина n_1 в единицах n . По оси ординат даны соответствующие величины коэффициентов, причем индекс каждого из коэффициентов совпадает с обозначением нелинейного члена, при котором он стоит. Например, K_{xa} обозначает коэффициент, стоящий при члене $(x_i a_i)$. В верхней части рисунка в большом масштабе показан участок пересечения прямых с осью абсцисс. На рис. 2 показаны подобные зависимости для вертикального угла выхода β . Коэффициенты K_{aa} , $K_{\beta\beta}$, K_{ab} малы и при выбранных масштабах не могут быть изображены на рисунках.

Как следует из рисунков, для поля с постоянным в направлении радиуса показателем n ($n_1 = n^2 + n$) величины поправок к углам выхода из-за нелинейных эффектов достигают существенной величины. В то же время, независимо от начальных условий траекторий, нелинейные поправки к горизонтальному, и к вертикальному углу близки

$x/$ Легко показать, что $n_1 = n^2 + n - R \frac{dn}{dR}$.

к нулю при $\alpha_1 = \alpha$. Таким образом, для того, чтобы свести к минимуму влияние нелинейных эффектов в отклоняющем магните, магнитное поле в его средней плоскости, на основании (1), должно изменяться по закону:

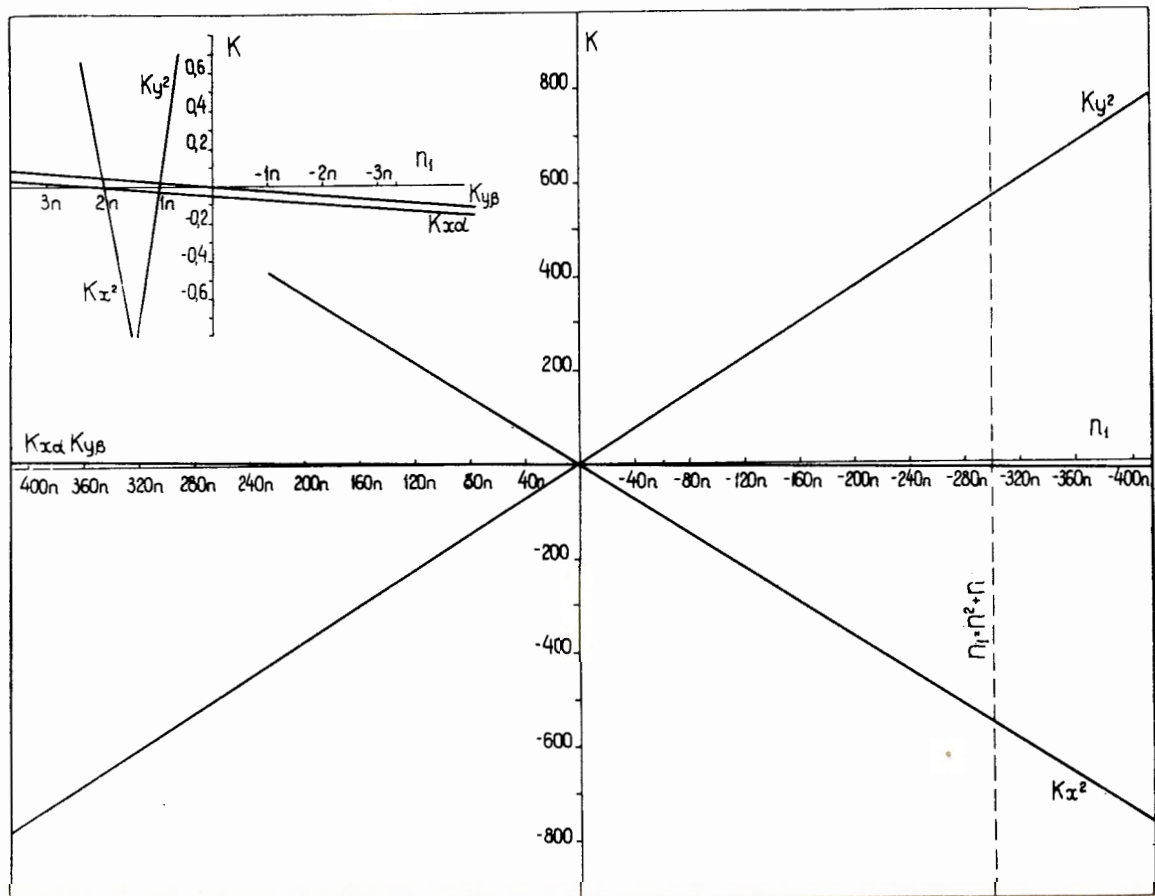
$$H_z = H_0 (1 - \alpha x + \frac{\alpha x^2}{2}). \quad (7)$$

Для проверки этого вывода были проведены расчеты на электронно-счетной машине для различных значений α ((в пределах $(-100) \div (-300)$) и углов поворота (в пределах $1^\circ \div 5^\circ$). Величина α_1 задавалась равной $k\alpha$, где k варьировалось в широких пределах. Расчеты показали, что во всех случаях и для всех взятых траекторий при $\alpha_1 = (1 \div 2)\alpha$ нелинейные эффекты практически сводятся к нулю.

Л и т е р а т у р а

1. А.А. Коломенский. Труды ФИАН СССР, т. 13, 3, 1960.

Рукопись поступила в издательский отдел
7 августа 1965 г.



P i c. 1.

